

УДК 539.319

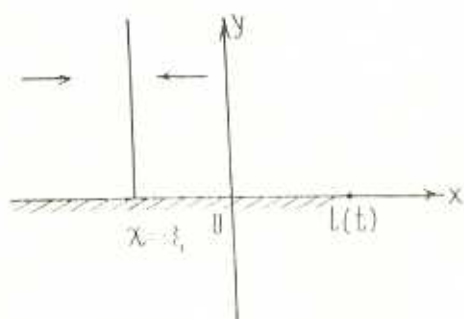
## ЗАДАЧА СОУДАРЕНИЯ ДВУХ ЧЕТВЕРТЬ-ПЛОСКОСТЕЙ ПРИ НАЛИЧИИ ДВИЖУЩЕЙСЯ ТВЕРДОЙ ОПОРЫ

МАРТИРОСЯН А. Н.

Задача соударения плоских тел в форме прямых углов при наличии на нижних сторонах углов частично твердой опоры решена в [1]. Задачи о трещинах в случае анизотропной среды рассмотрены в [2, 3, 4]. В случае движущейся трещины для изотропной среды с постоянной скоростью задача решена в [5], а для переменной скорости — в [6]. В настоящей статье для общего случая упругой анизотропной среды дается решение нестационарной смешанной задачи для полуплоскости, когда точка раздела граничных условий движется с переменной скоростью.

## § 1. Формулировка задачи соударения

Рассмотрим формулировку смешанной задачи соударения тел, имеющих вид прямых двугранных углов движущихся навстречу друг другу с одинаковой скоростью  $V_0$ . Задача считается плоской. Ось  $x$  выбирается по нижним сторонам углов, ось  $y$  направлена вертикально вверх (фиг. 1). На границе углов имеется твердая опора  $-\infty < x < l(t)$ , конец которой движется со скоростью  $\dot{l}(t)$ , где  $t$  — время с начала соударения. Рассмотрены случаи, когда соударение происходит на опоре и вне ее. Если углы были бы полуплоскостями  $-\infty < y < \infty$ , то решение в отсутствие опоры приняло бы вид



Фиг. 1

$$u_0 = -V_0 t H(x' - \sqrt{a} t) + V_0 t H(-x' - \sqrt{a} t) - \frac{x'}{\sqrt{a}} V_0 H(\sqrt{a} t - |x'|) \quad (1.1)$$

$$v_0 = 0, \quad x' = x + \xi$$

Здесь  $u_0$ ,  $v_0$  — смещение по осям  $x$ ,  $y$ ;  $x = -\xi$  — прямое слияние углов,  $H(x)$  — единичная функция,  $\rho a$  — упругая постоянная, координата  $x'$

отсчитывается от точки соударения тел, координата  $x$  отсчитывается от начальной точки  $O$ , являющейся точкой перехода твердой опоры в свободную границу в момент  $t=0$ ; то есть при  $y=0$ ,  $x < l(t)$  имеет место условие  $v=0$ , а при  $x > l(t)$  —  $\sigma_{yy}=0$ , где  $\sigma_{yy}$  есть нормальное напряжение и на всей границе касательное напряжение  $\sigma_{xy}=0$ . Из (1.1) следует

$$\frac{\partial u_0}{\partial t} = -V_0 H(x' - \sqrt{a}at) + V_0 H(-x' - \sqrt{a}at) \quad (1.2)$$

$$\frac{\partial u_0}{\partial x} = -\frac{V_0}{\sqrt{a}} H(\sqrt{a}at - |x'|)$$

Вводя двумерные возмущения  $U = u - u_0$ ,  $V = v - v_0$ , можно записать уравнение движения упругой среды для  $U$ ,  $V$  в виде [4]

$$a \frac{\partial^2 U}{\partial x^2} + d \frac{\partial^2 U}{\partial y^2} + c \frac{\partial^2 V}{\partial x \partial y} - \frac{\partial^2 U}{\partial t^2}, \quad \left( a = \frac{C_{11}}{\rho}, \quad b = \frac{C_{22}}{\rho} \right) \quad (1.3)$$

$$c \frac{\partial^2 U}{\partial x \partial y} + d \frac{\partial^2 V}{\partial x^2} + b \frac{\partial^2 V}{\partial y^2} - \frac{\partial^2 V}{\partial t^2}, \quad \left( d = \frac{C_{66}}{\rho}, \quad c = \frac{C_{66} + C_{12}}{\rho} \right)$$

Здесь  $C_{ij}$  — упругие постоянные,  $\rho$  — плотность среды. При  $t=0$  имеем  $U=0$ ,  $V=0$ ,  $\frac{\partial U}{\partial t}=0$ ,  $\frac{\partial V}{\partial t}=0$ .

Вышеуказанные граничные условия ( $y=0$ ), в которые подставлены  $\sigma_{yy}$ ,  $\sigma_{xy}$  через  $U$ ,  $V$  и учтено (1.2), можно записать в виде

$$(c-d) \frac{\partial U}{\partial x} + b \frac{\partial V}{\partial y} = \frac{c-d}{\sqrt{a}} \sqrt{H\left(t - \frac{|x'|}{\sqrt{a}}\right)}, \quad x > l(t) \quad (1.4)$$

$$V=0, \quad x < l(t); \quad \frac{\partial V}{\partial x} + \frac{\partial U}{\partial y} = 0, \quad -\infty < x < \infty$$

§ 2. Определение решения задачи, для которой точка соударения тел расположена на жесткой опоре

Вначале рассмотрим те значения  $\varepsilon \geq 0$ , при которых линия соударения тел находится на жесткой опоре, тогда в (1.4)  $H\left(\frac{x'}{\sqrt{a}} + t\right) = 1$ ; ( $x > l(t)$ ). Согласно [2] вводятся трансформанты Лапласа по  $t$  и Фурье по  $x$  от компонент смещения по осям  $x$  и  $y$

$$\bar{U}, \bar{V} = \int_0^{\infty} U, V \exp(-st) dt \quad (2.1)$$

$$\bar{U}, \bar{V} = \sum_{n=1}^{\infty} \int_{-\infty}^{\infty} \bar{U}_n, \bar{V}_n \exp[-iqx - iy_0^n(q)] dq$$

Подставляя (2.1) в (1.3), получим

$$\bar{V}_n = -\frac{s^2 + aq^2 + d\beta_n}{cq\beta_n} \bar{U}_n, \quad \beta_n = i \left| \frac{(b+d)s^2 + Lq^2 + (-1)^n \sqrt{\Delta(q)}}{2bd} \right|^{1/2}$$

$$\Delta(q) = [(b+d)s^2 + Lq^2]^2 - 4abd^2 p_1^2 p_2^2$$

$$p_1 = i \sqrt{\frac{s^2}{a} + q^2}, \quad p_2 = i \sqrt{\frac{s^2}{a} + q^2}, \quad L = ab - d^2 - c^2, \quad a > d, \quad b > d > 0$$
(2.2)

$$k_1 = ab - (c-d)^2 > 0, \quad b(a-d) - c^2 > 0.$$

Обозначая левую часть первого условия (1.4) через  $\varepsilon(t, x)$ , а второе условие через  $V(t, x)$ , представим эти функции в виде

$$\varepsilon(t, x) = \varepsilon_-(t, x)H(l-x) + \varepsilon_+(t, x)H(x-l)$$

$$V(t, x) = V_-(t, x)H(l-x) + V_+(t, x)H(x-l)$$

Значения функций  $\varepsilon = \varepsilon_-(t, x)$  при  $x < l(t)$  и  $V = V_+(t, x)$  при  $x > l(t)$  неизвестны и подлежат определению

$$\varepsilon_+(t, x) = \frac{c-d}{\sqrt{a}} V_0 H\left(t - \frac{x}{\sqrt{a}}\right), \quad V_-(t, x) = 0.$$

Легко отметить, что изображения функций  $\varepsilon(t, x)$ ,  $V(t, x)$  связаны соотношением

$$\bar{V}(s, q) = \bar{S}(s, q) \bar{\varepsilon}(s, q) \quad (2.3)$$

где  $\bar{S}$  есть изображение решения задачи Лемба [6]. В случае анизотропной срезы  $S$  имеет вид

$$\bar{S}(s, q) = -\frac{ni}{p_2 C_0} F(s, q), \quad F(s, q) = \frac{C_0 p_1 p_2 (\beta_1 + \beta_2)}{R(s, q)}$$

$$C_0 = K_1 \left( 2 \sqrt{\frac{b}{a} + \frac{1}{ad}} \right)^{-1/2}, \quad F(s, q) \rightarrow 1, \quad q \rightarrow \infty$$

$$R(s, q) = (bs^2 + K_1 q^2) \sqrt{\frac{a}{b}} p_2 + as^2 p_1 =$$

$$= \frac{adK_1 \sqrt{a}}{4(a-d)s^2 \sqrt{b}} \{Q_1 s^4 - P_1 s^2 (q^2 + p_1 p_2) + 4q^2 p_1 p_2 +$$

$$+ (p_2^2 - q^2)^2 (p_1 + p_2)\}, \quad P_1 = \frac{4(\sqrt{ab-b})}{K_1}$$

$$Q_1 = \frac{P_1}{\sqrt{ab}} + \frac{1}{a^2 K_1} [b(b-a) + (c+d-b)(c+b-3d)]$$

где  $R(s, q)$  — функция Рэлея. Число и положение точек разветвления функций  $\beta_n$  на комплексных плоскостях в зависимости от соотноше-

ний упругих постоянных изучено в [4]. После выбора ветвей функций  $\varphi_n, \beta_n$  легко получить [2]

$$\bar{S}(s, q) = \bar{\varphi}_+(s, q) \bar{S}_-(s, q), \quad P_{\pm}(s, q) = \frac{1}{\bar{S}_{\pm}(s, q)}$$

$$\bar{S}_{\pm}(s, q) = \frac{\bar{a}}{C_0} \frac{\sqrt{\frac{s}{\sqrt{a}} - iq}}{sc_k^{-1} - iq} D_{\pm}, \quad \bar{S}_{\pm}(s, q) = \frac{\sqrt{\frac{s}{\sqrt{a}} + iq}}{sc_k^{-1} + iq} D_{\pm} \quad (2.4)$$

$$D_{\pm}\left(\frac{iq}{s}\right) = \exp\left\{\frac{1}{2\pi i} \int_{\nu\sqrt{a}}^{\nu\sqrt{a}} \ln \left| \frac{R(I)}{R(I)} \frac{\beta_2^*(I) - i\beta_1^*(I)}{\beta_2^*(I) + i\beta_1^*(I)} \right| \frac{dI}{I \mp \frac{iq}{s}} \right\}$$

$$\beta_n^*(I) = \left\{ \frac{\sqrt{(b+d-LI^2)^2 + 4abd^2 \left(I^2 - \frac{1}{a}\right) \left(\frac{1}{d} - I^2\right) - (-1)^n (LI^2 - b - d)}}{2bd} \right\}^{1/2}$$

$$R(I) = (b - K_1 I^2) \sqrt{\frac{a}{b}} \sqrt{\frac{1}{d} - I^2} + ai \sqrt{I^2 - \frac{1}{a}}, \quad R\left(\frac{1}{c_R}\right) = 0$$

Так как функции  $D_{\pm}(iq/s)$  являются аналитическими на всей комплексной плоскости  $z = iq/s$ , за исключением точек, принадлежащих разрезам  $\left[\pm \frac{1}{\sqrt{a}}, \pm \frac{1}{\sqrt{d}}\right]$ , можно с помощью формулы Коши для неограниченной области получить значение  $D_{\pm}(iq/s)$  в виде [6]

$$D_{\pm}\left(\frac{iq}{s}\right) = 1 + \int_{\nu\sqrt{a}}^{\nu\sqrt{a}} \frac{F_1(u) du}{u \mp \frac{iq}{s}}, \quad D_{\pm}^{-1}\left(\frac{iq}{s}\right) = 1 + \int_{\nu\sqrt{a}}^{\nu\sqrt{a}} \frac{F_2(u) du}{u \mp \frac{iq}{s}} \quad (2.5)$$

$$F_1(u) = \gamma(u) \exp[\chi(u)], \quad F_2(u) = -\gamma(u) \exp[-\chi(u)]$$

$$\gamma(u) = \frac{a \sqrt{u^2 - \frac{1}{a}} \beta_2^*(u) - (b - K_1 u^2) \sqrt{\frac{a}{b}} \sqrt{\frac{1}{d} - u^2} \beta_1^*(u)}{\pi [R(u) | i\beta_1^*(u) + \beta_2^*(u)]}$$

$$\chi(u) = \frac{1}{2\pi i} \int_{\nu\sqrt{a}}^{\nu\sqrt{a}} \ln \left| \frac{R(I)}{R(I)} \frac{\beta_2^*(I) - i\beta_1^*(I)}{\beta_2^*(I) + i\beta_1^*(I)} \right| \frac{dI}{I - u}$$

Обозначим через  $S_{\pm}(t, x)$  и  $P_{\pm}(t, x)$  оригиналы  $\bar{S}_{\pm}(s, q)$  и  $\bar{P}_{\pm}(s, q)$  соответственно, и вычисляя их аналогично [6], получим

$$S_{\pm}(t, x) = \frac{H(-x)}{\sqrt{-\pi x}} \frac{\partial}{\partial t} \left\| 1 - B \sqrt{\frac{c_k^{-1} - a^{-1/2}}{c_k^{-1} + t/x}} - H(c_k^{-1} + t/x) - \right.$$



$$-\int_{-t/x}^{1/\sqrt{a}} \frac{F_1(u)}{c_R^{-1}-u} \sqrt{\frac{u-a^{-1/2}}{u+t/x}} du \Big] H\left(-t/x-a^{-1/2}\right) \quad (2.6)$$

$$P_-(t, x) = \frac{1}{\sqrt{\pi}} \left( \frac{1}{c_R} \frac{\partial}{\partial t} - \frac{\partial}{\partial x} \right) \left[ A \delta\left(t + \frac{x}{\sqrt{a}}\right) + \int_{1/\sqrt{a}}^{1/\sqrt{a}} F_3(h) \delta(t+hx) dh \right] \frac{H(-x)}{\sqrt{-x}}$$

$$A = 1 + \int_{1/\sqrt{a}}^{1/\sqrt{a}} \frac{F_2(u) du}{u - \frac{1}{\sqrt{a}}}, \quad B = 1 + \int_{1/\sqrt{a}}^{1/\sqrt{a}} \frac{F_1(u) du}{u - \frac{1}{c_R}}, \quad F_3(h) = \int_{1/\sqrt{a}}^{1/\sqrt{a}} \frac{d}{du} \left[ \frac{F_2(u)}{\sqrt{u - \frac{1}{\sqrt{a}}}} \right] \frac{du}{u-h}$$

где  $\delta(x)$  — функции Дирака. Функции  $S_+(t, x)$  и  $P_+(t, x)$  получаются из (2.6) заменой  $x$  на  $-x$  и умножением на постоянную  $a/C_0$  и  $C_0/a$ , соответственно. Полученные формулы по форме совпадают с [6] или со случаем изотропной среды, где  $D_{\pm}$  даются в виде (2.5).

Представим функции  $\bar{V}(s, q)$ ,  $\bar{\sigma}(s, q)$  в виде

$$\bar{\sigma}(s, q) = \bar{\sigma}_+(s, q) + \bar{\sigma}_-(s, q), \quad \bar{V} = V_+ + \bar{V}_- \quad (2.7)$$

где  $\bar{V}_+$ ,  $\bar{\sigma}_-$  неизвестны,  $\bar{V}_-$ ,  $\bar{\sigma}_+$  есть изображения оригиналов  $V_-(t, x)$ ,  $\sigma_+(t, x)$ . Кроме того, нетрудно заметить, что функция  $\bar{S}(s, q)$  такова, что указанная выше факторизация приводит к функциям  $\bar{S}_{\pm}(s, q)$ ,  $\bar{P}_{\pm}(s, q)$ , оригиналы которых удовлетворяют условиям

$$P_+(t, x) = S_+(t, x) = 0 \quad \text{при } x < c_R t \quad (2.8)$$

$$P_-(t, x) = S_-(t, x) = 0 \quad \text{при } x > -c_R t$$

$$-c_R < l(t) = \frac{dl}{dt} < c_R$$

где  $l(t)$  — гладкая функция.

Подставляя (2.7) в (2.3) и учитывая (2.8), можно, как и в [6], получить решение поставленной задачи в форме сверток по  $x, t$

$$\sigma_- = -P_- ** [(S_- ** \sigma_+ - P_+ ** V_-) H(l-x \div 0)] \quad (2.9)$$

$$V_+ = S_+ ** [(S_- ** \sigma_+ - P_+ ** V_-) H(-l+x \div 0)]$$

Здесь символ  $(**)$  означает свертку по  $t$  и  $x$ . Подставив в (2.9) выражение (2.6), значение  $\sigma_+$  и, учитывая, что по условию задачи  $V_- = 0$ , получаем на оси  $x$

$$\sigma_-(t, x) = P \left\{ AN \left( t, x, \xi, \frac{1}{\sqrt{a}} \right) + \int_{1/\sqrt{a}}^{1/\sqrt{a}} F_3(h) N(t, x, \xi, h) dh \right\} H \left( t - \frac{x + \xi}{\sqrt{a}} \right) \quad (2.10)$$

$$N(t, x, \xi, h) = \frac{c_R + l}{\sqrt{ac_R}(1+hl)} \sqrt{\frac{\sqrt{at_0 - l - \xi}}{l-x}} + \frac{c_R + \sqrt{a}}{\sqrt{a}\sqrt{h\sqrt{a} + c_R}} \times$$

$$\operatorname{arctg} \frac{\sqrt{\left(h + \frac{1}{\sqrt{a}}\right)(l-x)}}{\sqrt{t+hx + \frac{\xi}{\sqrt{a}} - \left(h + \frac{1}{\sqrt{a}}\right)l}}, \quad l=l(t_0), \quad t-t_0=h(l(t_0)-x)$$

$$P = \frac{4(c-d)c_R V_0}{\sqrt{2}(\sqrt{a} + c_R)\sqrt{a}} \left(1 + \int_{\sqrt{a}u + \frac{1}{\sqrt{a}}}^{\sqrt{a}} \frac{F_2(u)du}{\sqrt{a}u + \frac{1}{\sqrt{a}}}\right)$$

Для поставленной задачи решение получится из (2.10), добавляя одномерное решение.

Учитывая, что при  $x \rightarrow l(t)$ ,  $t_0 \rightarrow t$  и  $\frac{l(t)-x}{l(t_0)-x} \rightarrow 1+hl(t)$  можно из (2.10) получить коэффициент интенсивности напряжений

$$\lim_{x \rightarrow l-0} \sqrt{l-x} \sigma_y(t, x) = PK(l) \sqrt{l + \frac{\xi}{\sqrt{a}}} H\left(t - \frac{l + \xi}{\sqrt{a}}\right) \quad (2.11)$$

$$K(l) = \frac{1}{\sqrt{a}} \left(1 + l \int \frac{F_2(u)du}{1+ul}\right) \frac{(c_R + l)\sqrt{a}}{c_R \sqrt{\sqrt{a} + l}}, \quad l=l(t)$$

Можно доказать, что для случая постоянной  $l$  (2.11) совпадает с решением, полученным применением метода Винера-Хопфа.

### § 3. Решение задачи в случае $\xi < 0$

Рассмотрим теперь случай, когда  $\xi < 0$ , то есть соударение углов происходит вне жесткой опоры. Тогда  $H(x' + \sqrt{at}) \equiv 1$  при  $x > l(t)$ , и поэтому граничные условия возьмем в виде (1.4), а именно:

$$\sigma_+(t, x) = \frac{(c-d)V_0}{\sqrt{a}} H\left(t - \frac{|x + \xi|}{\sqrt{a}}\right) H(t)$$

Представим  $H\left(t - \frac{|x + \xi|}{\sqrt{a}}\right)$  следующим образом:

$$H\left(t - \frac{|x + \xi|}{\sqrt{a}}\right) = H\left(t - \frac{x + \xi}{\sqrt{a}}\right) H(x + \xi) + H\left(t + \frac{x + \xi}{\sqrt{a}}\right) H(-x - \xi) \quad (3.1)$$

Учитывая (3.1), из (2.9) можно получить коэффициенты интенсивности напряжений в виде

$$\lim_{x \rightarrow l-0} \sqrt{l-x} \sigma_y(t, x) = K(l) \left\{ P \sqrt{l + \frac{\xi}{\sqrt{a}}} H\left(t - \frac{l + \xi}{\sqrt{a}}\right) H(l + \xi) + \right.$$

$$\begin{aligned}
 & + 2 \frac{(c-d)V_0}{\pi\sqrt{a}} \sqrt{-l-\xi} \left[ 1 - \frac{BV_0 c_R}{\sqrt{a-c_R}} \sqrt{\frac{1}{c_R} - T} \right. \\
 & \left. - \int \frac{1}{\sqrt{d}} \frac{F_1(u)}{c_R - u} \sqrt{\frac{u-T}{u-\frac{1}{\sqrt{a}}}} du H\left(\frac{1}{\sqrt{d}} - T\right) \right] H(-l-\xi) H\left(T - \frac{1}{\sqrt{a}}\right) \\
 & T = -\frac{l}{l+\xi}
 \end{aligned} \tag{3.2}$$

Отметим, что при  $l(t) > -\xi$  решение (3.2) совпадает с (2.11), при этом  $\kappa = -\xi$  находится на опоре и имеет место решение (2.11).

Автор благодарит А. Г. Багдоева за ценные советы.

## COLLISION PROBLEM OF TWO QUARTER-PLANES ON MOVING RIGID SUPPORT

A. N. MARTIROSIAN

ՇԱՐՔԱՅԻՆ ԿՈՇՏ ՇԱՆՔԱՆԻ ԱՌՈՒՅՆՈՒԹՅԱՆ ԳԵՊՐՈՒՄ ԵՐԱՆԻ ՔԱՌՈՐԻ  
ՇԱՐՔԻԹՅՈՒՆՆԵՐԻ ՓՈՆԷՐԱՐԱՆԻ ԵՆԻՐԷ

Ա. Ն. ՄԱՐՏԻՐՈՍԻԱՆ

Ա մ փ ա փ ու ժ

Հողվածում արված է այն տեղադրության առաջին անգամից ստացված լուծումների գոյության հարցի լուծումը, որոնց մակերևույթի մի մասը սահմանափակված է կոշտ հիմքով: Հիմքի ելքը շարժվում է կոմպլեքսային արագությամբ: Արդյունքում են լարումների ինտենսիվության պրոֆիլները և լարումը կանտակտի դիրքը: Առաջիկայում է հիմքի ելքի հաստատուն արագության համար վրենդ-Հուգոնի մեթոդի վրա հիմնված լուծումը:

## ЛИТЕРАТУРА

1. Багдоев А. Г., Мартиросян А. Н. Задача соударения стержней при смешанных граничных условиях.—Докл АН СССР, 1976, т. 226, № 3, с. 537—540.
2. Багдоев А. Г., Мартиросян А. Н. Решение нестационарных задач для анизотропной упругой плоскости с полубесконечным разрезом, на границах которого заданы нормальный и касательный импульсы.—Изв. АН СССР, МТТ, 1976, № 1.
3. Мартиросян А. Н. Решение некоторых задач для анизотропной среды.—Изв. АН АрмССР, Механика, 1975, т. 28, № 1, с. 34—48.
4. Norris A. N., Achenbach J. D. Elastic wave diffraction by a semi-infinite crack in a transversely isotropic material.—Q. J. Mech. appl. Math, 1987, vol. 37, Pt. 4, p. 565—580.
5. Freund L. B. Crack-propagation in an elastic solid subjected to general loading I.—J. Mech. Phys. Solids, 1972, vol. 20, p. 123.
6. Сараякин В. А., Седлач Л. П. Плоская задача о динамике трещины в упругом теле.—Изв. АН СССР, МТТ, 1979, № 4, с. 54—73.

Армянский педагогический институт им. Х. Абовяна

Поступила в редакцию  
6.1.1988